

Ca²⁺ 농도에 따른 생쥐 초기배의 발생

성신여자대학교 자연과학대학 생물학과
양정숙 · 배인하

The Development of Early Mouse Embryos Depend on Ca²⁺ Concentration

Jung-Sook Yang, In-Ha Bae

Department of Biology, College of Natural Science, Sungshin Women's University

Objective: This study was to determine the effect of different concentration of calcium in medium on the preimplantational development of zygotes and early 2-cell embryos.

Methods: Female mice of ICR strain (5~8 weeks old) were superovulated and mated with fertile males. Zygotes or early 2-cell embryos were collected by flushing the oviducts 31~32 hours after hCG injection. The embryos were cultured in various concentrations of Ca²⁺ in medium or with EDTA, EGTA and Ni²⁺.

Result and Conclusion: Treatment of high concentration of Ca²⁺ (3.42 mM (2X)~17.1 mM (10X)) in medium didn't develop well compared to the control. Low concentrations of Ca²⁺ (0.214 mM (1/8X)~0.855 mM (1/2X)) were detrimental to development beyond 2-cell stage. EDTA, Ca²⁺ chelating agent was treated with ranged concentrations of EDTA (0.014 mM~0.107 mM) to medium containing 1.71 mM Ca²⁺ showed beneficial effect to development to blastocyst compared to the control. EGTA, extracellular Ca²⁺ chelator, was treated with ranged concentrations of EGTA (0.014~0.107 mM) to the medium containing 1.71 mM Ca²⁺. There is no significant difference with the control. Ni²⁺ (50 μM), T-type Ca²⁺-channel blocker was treated to medium containing low concentration of Ca²⁺. It overcame 2-cell block significantly. Rate of degenerated embryos decreased and developmental rate to morula and blastocyst increased more than low Ca²⁺ concentration alone. Further studies are needed for the overcoming effect of 2-cell block by Ni²⁺.

Key Words: Early 2-cell mouse embryo, Ca²⁺, EDTA, EGTA, Ni²⁺

생쥐의 수정난 (zygote)을 체외배양 (In Vitro culture)시 착상전인 포배기 (blastocyst stage)까지 발생하지 못하고 2세포기에 발성이 정지되어 퇴화한다.¹ 이와 같이 수정된 후 2세포기에서 세포분열이 정지되는 현상을 '2-cell block' 이라고 하며,² 이것은 생쥐의 계통에 따라 차이가 있다. Biggers³ 는 몇몇 hybrid계 (B6AF1, B6D22F-1)와 순종계 (inbred strain, C3H)의 수정난의 체외배양시 포배기로의 발생이 30~60%에 이르나 다른 계 (C57, DBA와 Swiss mice)는 0~8%에 불과하다고 보고하였다. 이러한 2-cell block을 극복하기 위하여

체외배양에서의 많은 연구들이 있었지만, 2-cell block의 정확한 원인은 아직 밝혀지고 있지 않다. Whittingham⁴은 생쥐 수정난을 난관에 이식하는 방법으로 포배로의 발생을 보였고, Muggleton-Harris 등⁵은 2-cell block을 보이지 않는 계통의 수정난의 세포질을 2-cell block을 보이는 계통의 세포질에 미세주입 (microinjection)을 함으로써 2-cell block이 극복됨을 보여 세포질에 2-cell block을 극복시키는 요소의 충분한 mRNA가 존재한다고 보고하였다. 이것은 McLaren⁶이 보고한 모계영향에 의한 2-cell block 현상을 증명하고 있다.

1977년 Abramczuk 등⁷은 ICR계 수정난을 EDTA (ethylenediaminetetraacetic acid) 10.8 μM이 포함된 Whitten's 배양액에 배양했을 때 포배기까지의 발생률이 대조군 15~30%에 비해 70%의 높은 배 발생률을 보였다. 그리고 Suzuki 등⁸은 2-cell block을 보이는 생쥐 수정난의 세포질에 108 μM의 EDTA가 함유된 배양액을 미세주입함으로써 92%의 4세포기 이상의 발생률을 보였으며, Fissore 등⁹은 EDTA가 함유된 배양액을 위황강 (perivitelline space)에 미세주입하여 배의 발생을 유도하였다.

한편, 세포질내의 Ca²⁺의 일시적인 증가 현상^{10,11}은 세포 대사의 중요 조절작용을 담당할 뿐 아니라,^{12,13} 수정난의 초기 발생과정을 촉진시킨다는 연구 결과가 있고,^{14~17} Ca²⁺ ionophore인 A 23187 또는 ethanol을 사용하여 세포내 Ca²⁺의 증가가 일어나면 착상전 배발생 (pre and peri-implantation)이 증가된다는 보고가 있다. 그러나, 세포내 Ca²⁺의 착화합물 (Ca²⁺ chelator)인 1,2-bis (2-aminophenoxy)ethane-N,N,N',N'-tetraacetic acid-acetoxymethyl ester (BAPTA-AM)을 사용할 때 ionophore에 의해 유도되었던 Ca²⁺ 신호체계 (Ca²⁺-signaling)가 저해되어 포배형성이 농도의존적으로 (dose dependent) 감소하였다.^{18~20} 이로써 세포내 Ca²⁺ 신호체계 (Ca²⁺-signaling)는 Ca²⁺ 농도에 의존하며, 생쥐배의 체외 발생시 세포분열에 중요한 역할을 한다는 것을 알 수 있다.

또한, 생쥐 수정난과 초기 2세포배를 Ca²⁺이 없는 배양액에 48시간 배양 후 모두 퇴화하는 반면,²¹ 후기 2세포배는 Ca²⁺이 제거된 배양액에서 상실배까지 발달이 가능한 점으로 보아 초기 2세포기에 일어나는 2-cell block은 Ca²⁺과 관계가 있다고 보여진다.²²

Bae와 Park²²은 후기 2세포배를 Ca²⁺이 존재하지 않는 배양액에서는 포배형성을 0%를 보였고, 1.71 mM의 Ca²⁺이 있는 배양액에서는 포배형성을 38%를 보인 반면, 3.42 mM, 8.55 mM로 농도를 높인 배양에서는 형성률이 각각 34%, 37%로 써 세포 외부의 Ca²⁺ 농도를 높여도 포배형성을 이 증가하지 않았다. 이런 점들을 종합해 볼 때 2-cell block은 Ca²⁺과 관련이 있을 것으로 가정된다. 따라서, 본 실험에서는 2-cell block이 일어나는 생쥐의 수정난과 2세포배를 여러 가지 농도의 Ca²⁺이 처리된 배양액에서 배양하였다. Ca²⁺ chelator인 EDTA와 다른 배양액 내 Ca²⁺ chelator인 EGTA (ethyleneglycol-bis(β-aminoethyl ether)N,N'-

tetraacetic acid)를 Ca²⁺[i] 존재하는 배양액에서 배양하였다. Ca²⁺ channel blocker로서 2세포배의 2-cell block을 극복시킨 Ni²⁺을 저농도의 Ca²⁺이 존재하는 배양액에 처리하여 생쥐 수정난 및 초기 2세포배의 발생에 미치는 Ca²⁺의 역할을 알아보려 한다.

연구 대상 및 방법

1. 연구 대상

본 실험에서는 명기와 암기가 조절 (14시간 : 10시간)되는 사육실에서 사육된 생후 5~8주의 Swiss albino인 ICR 계통의 암컷과 생후 12주 이상되어 생식력이 있는 수컷을 사용하였다.

생쥐 암컷의 복강에 5 IU (international unit)의 pregnant mare's serum gonadotropin (PMSG, Sigma)과 human chorionic gonadotropin (hCG, Sigma)을 0.9%의 생리 식염수에 녹여 47시간 간격으로 주사하여 과배란 (superovulation)을 유도한 후 수컷과 합사시켰다. 다음날 아침에 질전 (vaginal plug)이 확인된 암컷을 hCG 주사 후 31~32시간에 경추 파열로 도살한 후 양쪽 난관을 채취하여 두 개의 전핵 (pronucleus) 또는 두 개의 극체 (polar body)를 가진 수정난과 건강하게 보이는 초기 2세포배를 수집하였으며 필요에 따라 0.1% hyaluronidase (Sigma)를 사용하여 수정난의 mucin 성분과 난구세포 (cumulus cell)를 제거하였다.

2. 연구 방법

1) 배양 방법

수집된 생쥐 수정난과 초기 2세포배는 배양접시 (Falcon, 3002)에 40 μl의 배양액을 실험군의 수에 맞추어 만든 후 고압 멀균된 equilibrated mineral oil (Sigma)로 덮었다. 이를 37°C를 유지하고 5%의 CO₂와 95% 공기가 공급되고 100%의 습도가 유지되는 배양기에 넣어 3시간 동안 평형시킨 후 배양에 사용하였다.

2) 배양액과 처리 물질

모든 실험에 사용된 배양액은 MHBS (modified Hank's balanced salts solution)²³를 다시 조정하여 만든 New MHBS를 사용하였고 New MHBS의 조성은 다음과 같다.

NaCl (98.7 mM), KCl (5.3655 mM), MgSO₄ (0.8118 mM), Na₂HPO₄ (0.3358 mM), KH₂PO₄ (0.1533 mM), glucose (5.551 mM), phenol red (10

Table 1. Effects of high concentrations of Ca^{2+} in medium on the development of zygotes and early 2-cell mouse embryos to morula and blastocyst*

| Conc. of Ca^{2+} (mM) | Total No. of embryos | No. of developed embryos (%) | | | | |
|--------------------------------|----------------------|------------------------------|-----------|-----------|---------|-----------|
| | | 2C | 3~8C | MO | BL | DEG |
| 1.71 | 73 | 14 (19.1) | 20 (27.4) | 10 (13.7) | 2 (2.7) | 27 (37.0) |
| 3.42 | 76 | 20 (26.3) | 19 (25.0) | 9 (11.8) | 0 (0.0) | 28 (36.8) |
| 6.84 | 70 | 22 (31.4) | 15 (21.4) | 7 (10.0) | 0 (0.0) | 26 (37.1) |
| 13.68 | 75 | 11 (14.7) | 25 (33.3) | 7 (9.3) | 3 (4.0) | 29 (38.7) |
| 17.1 | 73 | 11 (15.1) | 15 (20.5) | 8 (11.0) | 0 (0.0) | 39 (53.4) |

The results were obtained by seven replicates. *; 72hr culture

mg/l), penicillin-G (100 units/ml), streptomycin (52 mg/l) 등을 10배의 stock solution으로 준비하고 CaCl_2 (1.71 mM), Na-lactate (2.5 mM), Na-pyruvate (0.33 mM) 등을 각각 100배의 stock solution으로 준비하여 사용하였으며, 0.4% bovine serum albumin (BSA)과 NaHCO_3 (25 mM)는 사용 직전에 녹여 사용하였다.

배양액은 대체로 278mOsm~280mOsm²⁴로 조정하고 (μOsm ette, Mass, U.S.A.) pH 7.3으로 적정하여 여과 멸균 (Millipore, 0.45 μm) 하였다.

서로 다른 Ca^{2+} 농도를 갖는 각각의 배양액의 삼투압을 278mOsm~280mOsm로 맞추기 위하여 NaCl 과 KCl 의 양으로 조절하였다.

처리 물질 ($\text{NiCl}_2 \cdot 6\text{H}_2\text{O}$, M.W. 237.7, Sigma; Ethylenediaminetetraacetic acid (EDTA), M.W. 336.2, Sigma)은 처리된 농도별로 증류수에 녹여 100배의 stock solution을 만들어 냉동보관 하였으며, ethyleneglycol-bis(β -aminoethyl ether)N,N'-tetraacetic acid (EGTA) (M.W. 380.4, Sigma)는 stock solution을 사용하지 않고 해당되는 물농도를 계산하여 배양액에 첨가하였다.

3) 배의 관찰

관찰 결과는 2세포배 중 핵막이 있고 세포질이 투명하며 정상적인 것을 2세포배로 하였고 3세포배~8세포배, 상실배 (morula; MO)와 포배 (blastocyst; BL), 그리고 세포질이 응축되거나 액포가 형성된 것 등의 비정상적인 것과 비정상적인 발생 (fragmentation)을 배의 퇴화 (degeneration; DEG)로 분류하였다.

4) 통계 처리

대조군과 실험군의 통계적 유의성은 spss/pc⁺ (version 3.0)을 이용하여 student t-test로 하였다.

결 과

1. 고농도 Ca^{2+} 이 처리된 배양액이 생쥐 수정난 및 초기 2세포배의 발생에 미치는 영향

대조군과 유의한 차이는 보이지 않았지만, 모든 실험군에서 포배를 형성하지 않거나 낮은 비율 (4%)을 보였다 ($p>0.05$). 발생이 정지되어 2세포배를 유지하고 있는 비율은 3.42 mM (2X), 6.84 mM (4X) 실험군에서 26.3%, 31.4%를 나타내어 대조군의 19.1% 보다 높았고, 3~8세포배, 상실배, 포배에서의 비율은 대조군보다 각각 낮게 나타났다 (Table 1).

2. 저농도 Ca^{2+} 이 처리된 배양액이 생쥐 수정난 및 초기 2세포배의 발생에 미치는 영향

대조군의 퇴화율은 37.5%인 반면 0.855 mM (1/2X), 0.428 mM (1/4X), 0.214 mM (1/8X) 실험군은 각각 48.4%, 48.4%, 51.7%의 퇴화율을 보였다. 또한, 모든 실험군에서 상실배 형성이 10% 미만을 보였고, 포배형성은 보이지 않아 배발생에는 특정 농도가 필요한 것을 알 수 있었다 (Figure 1).

3. EDTA를 처리한 배양액이 생쥐 수정난 및 초기 2세포배의 발생에 미치는 영향

0.014 mM 실험군은 대조군과 유의한 차이가 없었지만 ($p>0.05$), 0.027 mM, 0.054 mM, 0.107 mM 실험군의 퇴화율은 대조군의 40.3%에 비해 38.6%, 27.5%, 31.4%로서 대조군 보다 낮아 2-cell block 극복 효과가 있는 것으로 보였다. 모든 실험군에서 상실배·포배 형성률이 대조군의 9.7%에 비해 23.9~55.7%로서 높은 비율을 보였고 특

Table 2. Effects of various concentrations of $\text{Na}_2\text{-EDTA}$ in medium on the development of zygotes and early 2-cell mouse embryos to morula and blastocyst*

| Conc. of EDTA (mM) | Total No. of embryos | No. of developed embryos (%) | | | | | P vs. control |
|--------------------------|-------------------------|------------------------------|-----------|-----------|-----------|-----------|------------------|
| | | 2C | 3~8C | MO | BL | DEG | |
| 0 | 72 | 15 (20.8) | 21 (29.2) | 5 (6.9) | 2 (2.8) | 29 (40.3) | |
| 0.014 | 71 | 4 (5.6) | 17 (23.9) | 10 (14.1) | 7 (9.9) | 33 (46.5) | |
| 0.027 | 70 | 0 (0.0) | 12 (17.1) | 13 (18.6) | 18 (25.7) | 27 (38.6) | <0.05 |
| 0.054 | 69 | 0 (0.0) | 16 (23.1) | 12 (17.4) | 22 (31.9) | 19 (27.5) | <0.05 |
| 0.107 | 70 | 0 (0.0) | 9 (12.9) | 13 (18.6) | 26 (37.1) | 22 (31.4) | <0.05 |

The results were obtained by six replicates. p<0.05; Significantly differs from the control (0 mM EDTA).

*; 72hr culture

Table 3. Effects of various concentrations of EGTA in medium on the development of zygotes and early 2-cell mouse embryos to morula and blastocyst*

| Conc. of EGTA (mM) | Total No. of embryos | No. of developed embryos (%) | | | | |
|-----------------------|-------------------------|------------------------------|-----------|-----------|---------|-----------|
| | | 2C | 3~8C | MO | BL | DEG |
| 0 | 72 | 17 (23.6) | 18 (25.0) | 5 (6.9) | 2 (2.8) | 30 (41.7) |
| 0.014 | 73 | 16 (21.9) | 13 (17.8) | 4 (5.5) | 6 (8.2) | 34 (46.6) |
| 0.027 | 68 | 10 (14.7) | 26 (38.2) | 6 (8.8) | 4 (5.9) | 22 (32.4) |
| 0.054 | 74 | 10 (13.5) | 20 (27.0) | 10 (13.5) | 2 (2.7) | 32 (43.2) |
| 0.107 | 76 | 20 (26.3) | 24 (31.6) | 4 (5.3) | 4 (5.3) | 24 (31.6) |

The results were obtained by seven replicates. *; 72hr culture

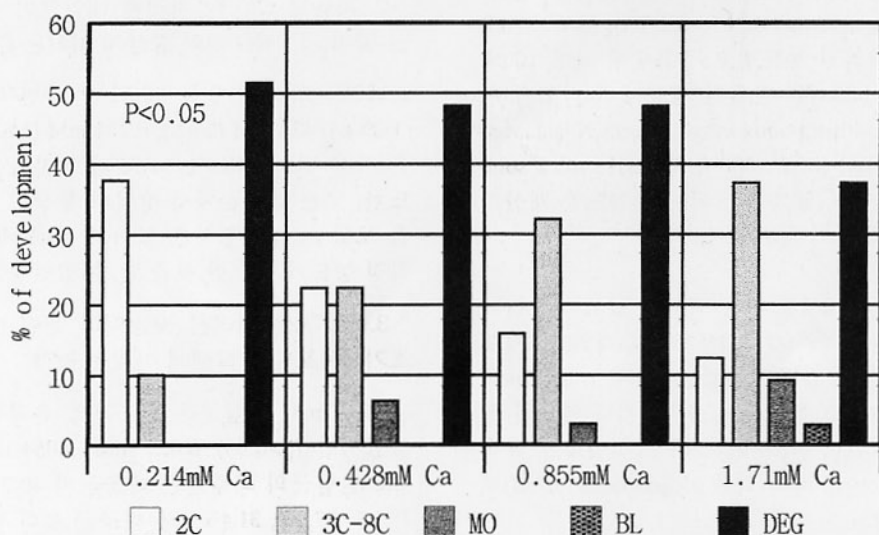


Figure 1. Effects of low concentrations of Ca^{2+} in medium on the development of zygotes and early 2-cell mouse embryos to morula and blastocyst.* The results were obtained by six replicates. p<0.05; Significantly differs from the control (1.71 mM Ca^{2+}). *; 72hr culture

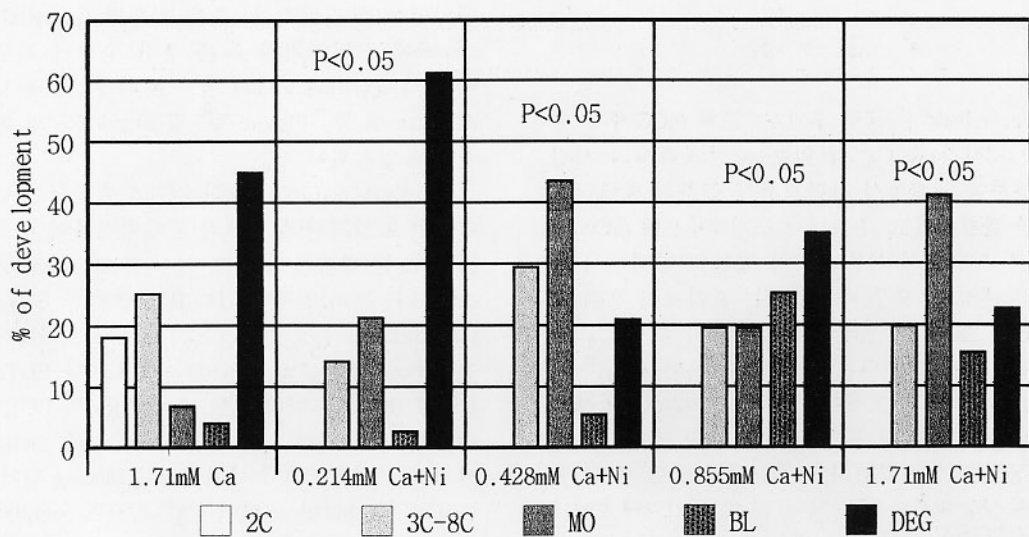


Figure 2. Effects of Ni^{2+} on the development of zygotes and early 2-cell mouse embryos to morula and blastocyst.* The results were obtained by seven replicates. $p<0.05$; Significantly differs from the control (1.71 mM Ca^{2+}). *; 72hr culture

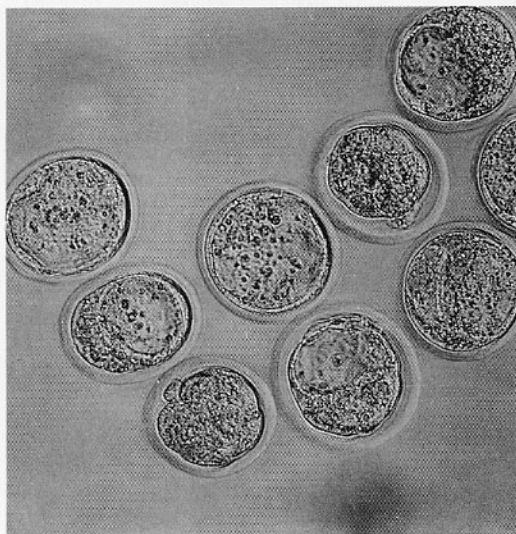


Figure 3. A light micrograph of embryos cultured for 72 hours in the presence of 0.855 mM Ca^{2+} and 50 μM Ni^{2+} . X400.

히 0.107 mM 실험군은 대조군의 포배형성률 2.8% 보다 13.3배 높은 37.1%의 포배형성률을 보여 2-cell block 극복 효과가 컸다 (Table 2).

4. 저농도의 EGTA를 처리한 배양액이 생쥐 수정난 및 초기 2세포배의 발생에 미치는 영향

모든 실험군에서 (0.014~0.107 mM) 상실배, 포배형성률이 대조군 9.7%에 비해 높은 10.6~16.2%의 비율을 보였으나 유의하지는 않았으며 ($p>0.05$), 같은 농도의 EDTA 실험군의 포배형성률 보다는 낮았다 (Table 3).

5. 저농도 Ca^{2+} 의 배양액에 처리한 Ni^{2+} 50 μM 이 생쥐 수정난 및 초기 2세포배의 발생에 미치는 영향

저농도의 Ca^{2+} 만 존재하는 배양액에서 보였던 2-cell block 현상이 모든 실험군에서 극복되었다. 상실배 형성률은 각 실험군마다 21.4%, 43.7%, 19.7%, 41.4%를 보였고 저농도의 Ca^{2+} 만 처리했을 때 형성되지 않았던 포배가 50 μM Ni^{2+} 첨가시 각 실험군마다 2.9%, 5.6%, 25.4%, 15.7%의 비율을 보였다. 퇴화율도 감소하여 배발생에 유익하게 작용하였다 ($p<0.05$). 가장 낮은 농도인 0.214 mM의 Ca^{2+} 과 Ni^{2+} 이 처리된 실험군은 높은 퇴화율 61.4%를 나타내었고 대부분 3~8세포배가 퇴화하였다. 또, 0.855 mM의 Ca^{2+} 과 Ni^{2+} 이 처리된 실험군은 가장 높은 포배율 25.4%를 보여 1.71 mM의 Ca^{2+} 이 존재할 때보다 Ni^{2+} 의 효과가 크게 작용하였다 (Figure 2, 3).

고 찰

Bae와 Park²²은 생쥐 후기 2세포배 (hCG 주사 후 50~52시간)를 Ca^{2+} 이 없는 배양액에서 48시간 배양하여 포배형성 전단계까지 충분히 발달하는 것을 관찰하였고, 수정난과 초기 2세포배 (hCG 주사 후 30~33시간)를 Ca^{2+} 이 없는 배양액에서 48시간 배양 후 모두 퇴화한다는 결과로써 생쥐 수정난과 초기 2세포배는 체외배양시 외부 Ca^{2+} 이 필수적으로 요구되는 것을 보고한 바 있다.²¹ 이 사실로 생쥐 2세포배에서 일어나는 2-cell block은 초기 2세포배에서 후기 2세포배로 발생이 진행하는 동안 Ca^{2+} 과 밀접하게 관련된다고 할 수 있다.

본 실험에서는 생쥐 수정난 및 초기 2세포배가 외부 Ca^{2+} 농도가 절대적으로 요구되는 것을 바탕으로 외부 Ca^{2+} 농도를 여러 가지 농도로 조절하여 Ca^{2+} 농도에 대한 생쥐 수정난 및 초기 2세포배의 발생 정도를 알아보았다.

Ca^{2+} 농도를 높인 3.42 mM~17.1 mM 배양액에 서는 대조군과 비슷한 퇴화율을 보여 통계적 유의성은 없었다. 따라서, 수정난 및 생쥐 초기 2세포배를 체외배양시, 외부 Ca^{2+} 농도를 높였다고 해서 대조군에 비해 배발생이 촉진되지는 않음을 알 수 있었다.

1.71 mM 보다 낮은 농도인 0.855 mM (1/2X), 0.428 mM (1/4X), 0.214 mM (1/8X)의 Ca^{2+} 이 포함된 배양액에 72시간 배양 결과 저농도의 Ca^{2+} 실험군이 고농도의 Ca^{2+} 실험군보다 퇴화율이 높게 보여 생쥐 수정난 및 초기 2세포배의 발달에는 적정 농도의 Ca^{2+} 이 필수적으로 필요하다고 추정할 수 있다. 그러나 본 실험에서 0.428 mM의 Ca^{2+} 실험군은 대조군과 비교해서 통계적 유의성이 없는 점으로 보아 적어도 0.428 mM의 이상의 외부 Ca^{2+} 이 필요하다고 추정된다. 이와 같은 농도는 생쥐여포난자 배양에서 적어도 0.5 mM Ca^{2+} 이 필수적인 실험적 보고^{25,26}와 일치하고 있다.

또한, 본 실험에서는 배양액 내 Ca^{2+} 농도 1.71 mM을 기준으로하여 Ca^{2+} 과 chelation 하는 EDTA, EGTA를 여러 농도로 조절하여 배양한 결과, 0.027 mM~0.107 mM EDTA 실험군은 대조군보다 상실배, 포배의 형성률이 높게 나왔고, 퇴화율도 낮아 배발생에 유익하게 작용하였다. 특히 107 μM 의 EDTA 실험군은 대조군 2.8%에 비해 37.1%의 높은 포배형성률을 보였는데, 108 μM 의 EDTA를

배양액에 처리하거나, 혹은 위황강 (perivitelline space)에 주입하거나 혹은 생쥐 수정난 세포질에 미세주입하여 92%의 높은 포배형성률을 보인 Abramzuck 등,⁷ Fissore 등⁹ 및 Suzuki 등⁸의 연구 결과와 일치한다.

0.014 mM~0.107 mM의 EGTA 실험군은 유의하지는 않았지만 상실배와 포배형성률이 대조군과 비슷한 결과를 보이고 있어 2-cell block overcome에는 전혀 영향이 없다고 판단된다. EGTA는 Ca^{2+} chelation 과정에서는 EDTA 보다 효과적이나 전혀 beneficial effect가 없었다. 또 Ca^{2+} 과 EDTA가 1:1로 chelation 한다고 할 때 108 μM 의 EDTA는 배양액 속의 극히 일부분만의 Ca^{2+} 만을 chelation 시키고 있어 EDTA가 세포막상에 binding 되어 있는 Ca^{2+} 과 chelation 되어 Ca^{2+} -EDTA complex가 signal transduction을 유도하여 intracellular Ca^{2+} increase를 유발하는 것이 아닌가 하는 추정이 가능하다. 이 가정에 대한 실험을 앞으로 계획하고 있다.

한편, T-type Ca^{2+} channel blocker로 알려진 Ni^{2+} 은 최근 파골세포 (osteoclast)에서 세포내 Ca^{2+} 저장고로부터 Ca^{2+} 을 유리시켜 세포내 Ca^{2+} 농도를 증가시킨다고 보고되었다.^{27,28} 이들은 파골세포막상에 가상적인 Ca^{2+} -receptor가 있어 Ni^{2+} 이 이 receptor에 binding 될 때 세포내 Ca^{2+} 을 증가시킨다고 가정하고 있으나 정확한 기작 설명은 아직 하지 못하고 있다. 이와는 달리 생쥐 초기 2세포배에서도 Ni^{2+} 을 10~100 μM 로 배양액에 처리할 때 Ni^{2+} 처리 후 약 60초 정도에서 intracellular Ca^{2+} 농도가 올라감을 dual wavelength excitation spectrophotometer로 관찰하였다.²⁹ 이와 같이 세포내 Ca^{2+} 농도 증가가 세포분열을 조장하는 trigger 역할을 하고 있었으며 2~8분 후에도 다시 basal level로 돌아갔다. Basal level로 돌아온 2세포배에다 다시 높은 농도의 Ni^{2+} 을 처리하더라도 재차 intracellular Ca^{2+} transient는 없었다.²⁹ 파골세포와 생쥐 2세포배에서 Ni^{2+} 이 똑같은 기작으로 intracellular Ca^{2+} transient를 일으키는지 여부는 아직 밝혀지지 않고 있다. Ni^{2+} 은 Ca^{2+} -channel 중 T-type channel의 blocker로도 작용하고 있어 Ni^{2+} 의 작용 기작에 관한 연구는 더 계속되어야 한다. 앞서 기술된 저농도의 Ca^{2+} 배양액에서 2-cell block을 보인 실험군에 50 μM 의 Ni^{2+} 을 처리한 결과 모든 실험군에서 2-cell block 극복 현상을 유의하게 보였다 (Figure 2). 0.855 mM의 Ca^{2+} 과 50 μM Ni^{2+} 을 처

리한 실험군은 가장 높은 포배형성률을 보여 1.71 mM Ca²⁺이 존재할 때 보다 0.855 mM Ca²⁺ 존재시 더욱 효과적으로 작용했다고 보여진다 (Figure 2). 0.214 mM Ca²⁺과 Ni²⁺을 처리한 실험군은 61.4%의 높은 퇴화율을 보였고, 대부분 3~8세포에서 퇴화했으며 특히 8세포포배는 compaction을 이루지 못하고 퇴화하였다. 이것은 8세포포배를 외부 Ca²⁺이 없는 배양액에 24시간 배양시 16세포포배까지 세포 분열은 일어나지만 compaction은 일어나지 않았고 48시간 배양후에 모두 퇴화하였다는 보고³⁰와도 일치하여 compaction 과정 중에 배양액 내의 적정 Ca²⁺ 농도를 필요로 한다는 것을 시사한다.

참 고 문 현

- Whitten WK, Biggers JD. Complete development *in vitro* of the pre-implantation stages of the mouse in a simple chemically defined medium. *J Reprod Fert* 1968; 17: 399-401.
- Goddard MJ, Pratt HPM. Control of events during early cleavage of the mouse embryo: an analysis of the '2-cell block'. *J Embryol Exp Morph* 1983; 73: 111-33.
- Biggers JD. New observations on the nutrition of the mammalian oocyte and the preimplantation embryo. In: *Biology of the blastocyst*. Chicago: Univ Chicago Press; 1971. p. 314-327.
- Whittingham DG. Development of zygotes in cultured mouse oviducts. I. The effect of varying oviductal conditions. *J Exp Zool* 1968; 169: 391-8.
- Muggleton-Harris A, Whittingham DG, Wilson L. Cytoplasmic control of preimplantation development *in vitro* in the mouse. *Nature* 1982; 299: 460-2.
- McLaren A. Analysis of maternal effects on development in mammals. *J Reprod Fertil* 1981; 62: 591-6.
- Abramczuk J, Solter D, Koprowski H. The beneficial effect of EDTA on development of mouse one-cell embryos in chemically defined medium. *Dev Biol* 1977; 61: 378-83.
- Suzuki S, Komatsu S, Kitai H, Endo Y, Iizuka R, Fukasawa T. Analysis of cytoplasmic factors in developmental cleavage of mouse embryo. *Cell Differ* 1988; 24: 133-8.
- Fissore RA, Jackson KV, Kiessling AA. Mouse zygote development in culture medium without protein in the presence of ethylenediaminetetraacetic acid. *Biol Reprod* 1989; 41: 835-41.
- Hajnoczky G, Robb-Gaspers LD, Seitz MB, Thomas AP. Decoding of cytosolic calcium oscillations in the mitochondria. *Cell* 1995; 82: 415-24.
- Jaconi M, Pyle J, Bortolon R, Ou J, Clapham D. Calcium release and influx colocalize to the endoplasmic reticulum. *Current Biology* 1997; 7: 599-602.
- Harootunian AT, Kao JPY, Paranjape S, Tsien RY. Generation of calcium oscillations in fibroblasts by positive feedback between calcium and IP₃. *Science* 1991; 251: 75-8.
- Hepler PK. The role of calcium in cell division. *Cell Calcium* 1994; 16: 322-30.
- Kline JT, Kline D. Regulation of intracellular calcium in the mouse egg: evidence for inositol trisphosphate-induced calcium release, but not calcium-induced calcium release. *Biol Reprod* 1994; 50: 193-203.
- Suprynowicz FA, Prusmack C, Whalley T. Ca²⁺ triggers premature inactivation of the cdc2 protein kinase in permeabilized sea urchin embryos. *Proc Natl Sci U.S.A.* 1994; 91: 6176-80.
- Ayabe T, Kopf GS, Schultz RM. Regulation of mouse egg activation: presence of ryanodine receptors and effects of microinjected ryanodine and cyclic ADP ribose on uninseminated and inseminated eggs. *Development* 1995; 121: 2233-44.
- Striker SA. Time-lapse confocal imaging of calcium dynamics in starfish embryos. *Dev Biol* 1995; 170: 496-518.
- Stachecki JJ, Yelian FD, Schultz JF, Leach RE, Armant DR. Blastocyst cavitation is accelerated by ethanol- or ionophore-induced elevation of intracellular calcium. *Biol Reprod* 1994a; 50: 1-9.
- Stachecki JJ, Yelian FD, Leach RE, Armant DR. Mouse blastocyst outgrowth and implantation rates following exposure to ethanol or A23187 during culture *in vitro*. *J Reprod Fert* 1994b;

- 101: 611-7.
20. Stachecki JJ, Armant DR. Regulation of blas-
 - tocoele formation by intracellular calcium release is mediated through a phospholipase C-dependent pathway in mice. *Biol Reprod* 1996a; 55: 1292-8.
 21. Bae IH, Yoon SY. The effect of Ca^{2+} inhibitor on the *in vitro* 2-cell block of the mouse. *Kor J Fertil Steril* 1995; 22: 1-10.
 22. Bae IH, Park JH. Studies on the requirements of Ca^{2+} for cell division and Ca^{2+} permeability of plasma membrane of fast dividing mouse embryo cells. *Kor J Fertil Steril* 1987; 93-100.
 23. Bae IH, Channing CP. Effect of Ca^{2+} on pig follicular oocyte maturation *in vitro*. 1985; 33: 79-87.
 24. Bae IH, Foote RH. Maturation of rabbit follicular oocytes in a defined medium of varied osmolality. *J Reprod Fert* 1980; 59: 11-3.
 25. DeFelici M, Siracusa G. Survival of isolated, fully grown mouse ovarian oocytes is strictly dependent on external Ca^{2+} . *Dev Biol* 1982; 92(2): 539-43.
 26. Chung HW, Yoo HK, Bae IH. Effect of calcium inhibitors on mouse oocyte maturation. *Kor J Fertil Steril* 1992; 19: 15-29.
 27. Almers W, Palade PT. Slow calcium and potassium currents across frog muscle membrane: measurements with a vaseline-gap technique. *J Physiol* 1981; 312: 159-76.
 28. Shanker VS, Bax CMR, Bridget E, Bax B, Alam ARHT, Moonga BS, et al. Activation of the Ca^{2+} 'receptor' on the osteoclast by Ni^{2+} elicits cytosolic Ca^{2+} enhancement for receptor activation and inactivation, intracellular Ca^{2+} redistribution, and divalent cation modulation. *J Cell Physiol* 1993; 155: 120-9.
 29. Bae IH. The effect of Ni^{2+} in overcoming the 2-cell block in the mouse embryo. *Suppl Mol Biol Cell* 1994; 5: 354a.
 30. Bae IH, Kim HS. Effect of Ca^{2+} inhibitors on compaction of mouse 8-cell embryos. *Kor J Fertil Steril* 1994; 21: 49-62.